

# 碲镉汞光导器件与材料的对应关系

曾光丽 史向华\*

(昆明物理研究所)

本文通过  $3\sim 5 \mu\text{m}$  多元光导器件的制备和实验，探讨了器件平均电阻  $\bar{R}_D$  与材料电阻率  $\rho$  的关系，对器件和材料之间出现的不对应性进行了分析和研究。

## 1. 前言

器件阻值影响到表征器件优劣的重要参数——探测率  $D^*$ 。我们在制备  $3\sim 5 \mu\text{m}$  碲镉汞(以下简称 CMT)12 元光导器件的实践中，发现用固态再结晶 N 型 CMT 材料制成的器件，平均电阻  $\bar{R}_D$  与材料电阻率  $\rho$  有对应关系的往往有较好的性能。而 70% 以上的器件， $\bar{R}_D$  与  $\rho$  无明显对应关系，电阻值比  $300 \Omega$ (196 K)规范值偏高，这类器件往往具有响应率低、光电性能不稳定、有极化效应等问题。我们结合 CMT12 元光导器件的制备工作，讨论了器件平均电阻  $\bar{R}_D$  与电阻率  $\rho$  的关系，对材料与器件间的不对应关系进行了分析。

## 2. 实验和结果

我们制作的 12 元光导器件的工作温度为 196 K，光敏面尺寸为  $75 \times 75 \mu\text{m}^2$ ，间距为  $75 \mu\text{m}$ ，结构有单排和交错双排两种。所用的 CMT 材料主要为快速淬火固态再结晶料，为了对比，也用过少量 Te 熔剂和布里奇曼料，片料厚度  $\sim 1 \text{ mm}$ 。在我们考察的 122 片实验片子中，有 88% 的片子，其 77 K 的霍尔系数表明材料是 N 型的。在认定多元器件制备工艺基本稳定、重复性较好的情况下，统计了 175 支 12 元器件(截止波长  $\lambda_c \sim 5 \mu\text{m}$ )室温平均阻值  $\bar{R}_D$ ，其中 60 支还在低于 196 K 的温度下作了测量，结果见图 1。

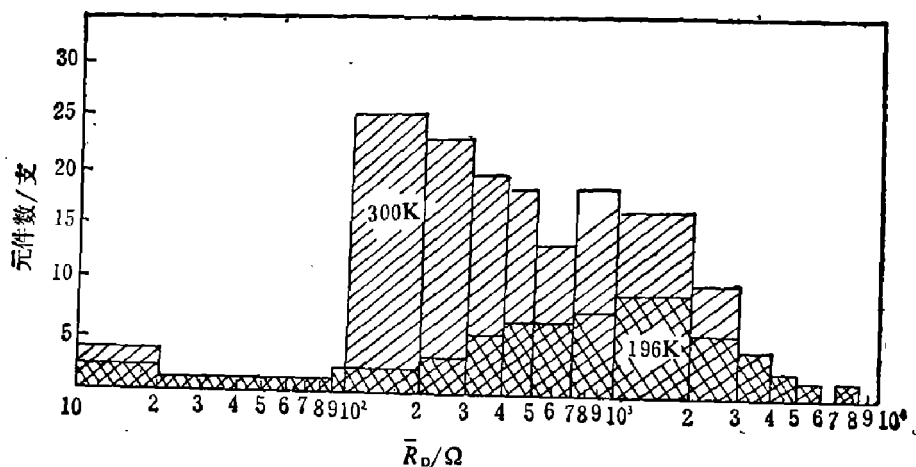


图 1 175 支 12 元光导器件( $\lambda_c \sim 5 \mu\text{m}$ )的平均电阻直方图

\*史向华现在株洲南方动力机械公司 332 部设计所工作。

表1 列出几种典型器件  $\bar{R}_D$  与  $\rho$  的对应值。性能好的器件阻值接近设计规范值，而阻值偏高或过高的器件性能不好，且都有极化效应，也就是阻值和噪声都有方向性。

表1 典型材料与器件参数对应表

材料编号	体 霍 尔 值			77K 导电类型	器件编号	器件主要参数 (196K)				
	$\rho(\Omega\text{cm})$					$\bar{R}_D$ ( $\Omega$ )	$\lambda_C$ ( $\mu\text{m}$ )	$D^*(\lambda, 1\text{kHz}, 1)$ ( $\text{cmHz}^{1/2}\text{W}^{-1}$ )		
	295 K	196 K	77 K							
Tell-(1)	0.13	1.13	1.58	N	M8376	339	5	$8.7 \times 10^9$		
SC7715	0.15		0.8	P	M8385	414	4.8	$2.9 \times 10^9$		
SC7820(1)	0.57	0.69	0.8	N	M8364	1300 (-1600)	5.1	$2 \times 10^9$		
SC7913	0.0023	0.062	0.022	N	M8369	2100 (-2400)	5	$10^7 \sim 10^8$		

表2 列出了考察材料组中编号为 SC7820(2)的固态再结晶料的体霍尔(对厚度为1 mm的晶片而言)和片霍尔(对厚度为10~20  $\mu\text{m}$  的晶片而言)测量数据与器件跟踪参数之间的对应关系。器件阻值接近于片霍尔测量的计算值。表2中  $R_H$  为霍尔系数,  $\mu$  为迁移率,  $\bar{R}_D$  为响应率。

表2 SC7820(2)样品体、片霍尔测量数据比较表

测试温度 (K)	样品 类型	$R_H$ ( $\text{cm}^3/\text{c}$ )	N/P	$\mu$ ( $\text{cm}^2/\text{V}\cdot\text{s}$ )	$\rho$ ( $\Omega\text{cm}$ )	$\lambda_C$ ( $\mu\text{m}$ )	$\bar{R}_D$ 计算值 ( $\Omega$ )	$\bar{R}_D$ 实测值		$\bar{R}_D$ (196K) ( $\text{V}/\text{W}$ )
								正向	反向	
300	体	$-3.73 \times 10^8$	$1.68 \times 10^{15}$	$2.12 \times 10^3$	1.145		573	332	-345	
	片	$-3.63 \times 10^8$	$1.72 \times 10^{15}$	$2.95 \times 10^2$	1.23		615	1300	-1100	
194.7	体	$-8 \times 10^3$	$7.8 \times 10^{14}$	$3.8 \times 10^3$	2.097	5.3	1050	692	-821	303
	片	$-1.15 \times 10^8$	$3.43 \times 10^{15}$	$3.55 \times 10^2$	3.24	5.2	1620	3500	-2000	114
77	体	$-1.89 \times 10^4$	$3.31 \times 10^{14}$	$1.11 \times 10^4$	1.696		847	674	-798	
	片	$1.23 \times 10^2$	$3.4 \times 10^{16}$	$3.57 \times 10$	4.75		2370	3300	-2500	

### 3. 结果分析

#### (1) 体霍尔和片霍尔测量数据的比较

由表2可知, 片霍尔测量数据能近似地反映材料性质, 试验的大部分器件是由夹心P型材料制作, 而不是所要求的N型。对编号为SC7820(2)的材料进行了体、片霍尔系数的变温测试, 结果如图2和图3, 表明体霍尔呈N型而片霍尔呈P型变化规律。

#### (2) 材料为P型和/或P、N夹杂

用特定退火工艺条件下制取的随机浓度夹心P型材料制作的器件阻值容易偏高, 室温下常可测得较好的光电性能, 而低温性能不一定好。为制备在196 K使用的优质器件, 需要均匀性好的N型标准材料, 本征激发温度应接近196 K, 选择最佳退火条件以及采用薄片退火方法对消除材料的P型夹心是有利的。实验还表明, 材料除P型夹心外还有P、N夹杂, P、N夹杂是形成器件高阻和极性效应的内在原因。选用不同的电极材料对消除极性效应、

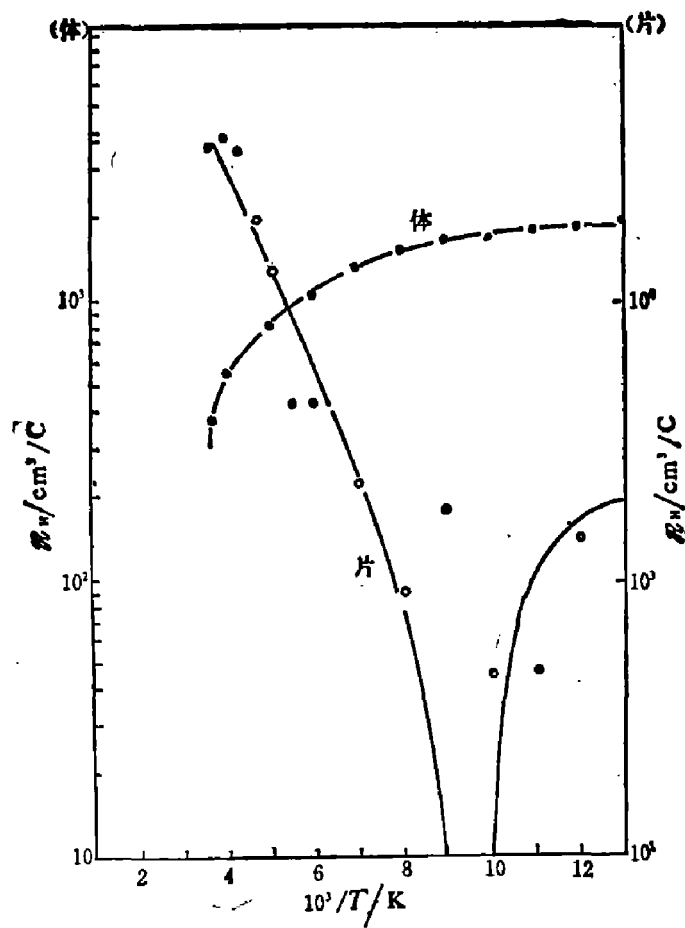


图2  $x=0.27$  样品 SC7820(2)的霍尔系数与温度关系曲线  
×：体材料 ○：片材料

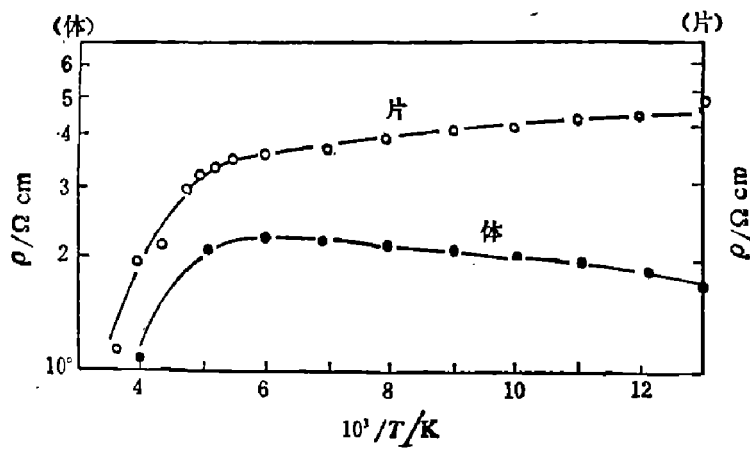


图3  $x=0.27$  样品 SC7820(2) 电阻率与温度的关系曲线  
×：材体料 ○：片材料

以及采用宽范围的低温退火条件对消除夹杂都是无效的。

### (3) 响应波长不存在偏短问题

对组分  $x=0.27$  的CMT材料，计算其300 K的对应截止波长  $\lambda_0$  为  $4.98 \mu\text{m}$ ，196 K时为  $5.5 \mu\text{m}$ 。196 K时测得90%以上的实验器件的截止波长  $\lambda_0$  为  $5\sim6 \mu\text{m}$ ，器件阻值偏高或过高不是由于材料组分  $x$  的变大而引起的。

#### (4) 电极蒸镀和接触点可靠性考察

现行的器件工艺采用延伸电极结构，通过一些特殊的加工方法，电极失效率已大大降低。我们进行了批量考察和对比实验，结果已证明器件电极的可靠性和测试数据的可重复性，这是本文讨论的基础。

#### 4. 结论

通过对  $Hg_{0.78}Cd_{0.21}Te$  材料与器件对应关系的实验和分析，认为在良好的器件工艺前提下，材料性质决定着器件的最终性能。结构和电学性质均匀性好的材料，器件和材料参数有对应性。晶体的不均匀性——夹心 P 型以及 P、N 夹杂导致器件阻值偏高或过高。

致谢——感谢张景韶、梁宏林、杨雄超、高仲侠等同志对本工作的支持和帮助。

#### 参 考 文 献

- [1] 汤定元，红外物理与技术，(1976)，4/5：53~87·
- [2] 徐国琴等，红外物理与技术，(1976)，4/5：46~52.
- [3] N78-19876, Section 5.
- [4] Syllaos A. J., *J. Vac. Sci. Technol.*, 21 (1982), 201~204.

(本文 1985 年 9 月 13 日收到。最后修改稿 1986 年 5 月 5 日收到。)